

# ارزیابی بازده تله اندازی رسوب در سدهای خاکی کوچک منطقه چهار محال و بختیاری

سید فرهاد موسوی\*، احمد محمد زاده\*\*، احمد جلالیان\* و حسین صمدی بروجنی\*\*\*

## چکیده

یکی از مشکلات اساسی ذخیره و بهره‌برداری از آبهای سطحی برای مصارف شرب، کنترل سیل، برقابی و کشاورزی، مسئله رسوبگذاری در مخازن سدها و سرآمدن عمر مفید آنهاست. عمر مفید یک سد معادل مدت زمانی است که حدود ۸۰ درصد حجم اولیه مخزن آن از رسوب پر شود. عمر مفید تابعی از مقدار رسوبات وارده، وزن مخصوص مواد رسوبی و بازده (راندمان) تله‌اندازی مخزن سد می‌باشد. بازده تله‌اندازی رسوب به خصوصیات ذرات رسوب، عمر مفید مخزن، شکل مخزن، روش بهره‌برداری از مخزن و نسبت ظرفیت ذخیره به میزان جریان ورودی بستگی دارد. هدف از این تحقیق، محاسبه بازده تله‌اندازی رسوب در تعدادی از سدهای خاکی کوچک و تعیین روابط حاکم بر عناصر مؤثر در آن در منطقه استان چهارمحال و بختیاری بوده است. بدین منظور، تعداد ۱۴ سد خاکی کوچک در اطراف شهرکرد و بروجن، با ارتفاع کمتر از ۱۵ متر و ظرفیت کمتر از یک میلیون متر مکعب انتخاب شدند و مورد مطالعه قرار گرفتند. چون هیچگونه اندازه‌گیری میزان رسوب وارده به این مخازن وجود نداشت، برای برآورد مقدار رسوب وارده به سدها از مدل تجربی MPSIAC استفاده شد. این مدل، ۹ عامل مؤثر در فرسایش و رسوب‌دهی حوزه‌ها شامل زمین‌شناسی سطحی، خاک، آب و هوا، رواناب، پستی و بلندی، پوشش زمین، کاربری زمین، فرسایش سطحی و فرسایش رودخانه‌ای را در نظر می‌گیرد. عوامل نه‌گانه در حوزه بالا دست سدها بررسی شده و میزان رسوب وارده به مخازن در طی یک سال تخمین زده شده است. با نقشه‌برداری از مخازن سدها و مقایسه نقشه‌های حجم-ارتفاع اولیه و ثانویه، مقدار رسوب ته‌نشین شده در طی کل دوران بهره‌برداری از سدها به دست آمد. بازده تله‌اندازی رسوب در هر مخزن محاسبه شد. نتایج حاصل نشان می‌دهد بازده تله‌اندازی رسوب در سدهای مورد مطالعه از ۱۰/۴ تا ۶۸/۹ درصد متغیر است. منحنی‌های جدیدی برای پیش‌بینی تله‌اندازی رسوب در سدهای کوچک رسم شده است.

واژه‌های کلیدی - رسوبگذاری در مخازن، بازده (راندمان) تله‌اندازی، فرسایش، زمان ماند رسوب، مدل پسیاک، منحنی برون.

## مقدمه

سرنوشت نهایی تمام مخازن آبی که برای ذخیره و کنترل سیل، برقابی و تأمین آب کشاورزی ساخته می‌شوند، بهره‌برداری از آبهای سطحی، به منظور تأمین مصارف شرب، پیر شدن از رسوبات است. اگر میزان رسوبات وارده به مخزن سد

\* به ترتیب دانشیار گروه آبیاری و خاکشناسی، دانشکده کشاورزی، دانشگاه صنعتی اصفهان

\*\* کارشناس ارشد سازمان آب و برق خوزستان

\*\*\* مربی گروه آبیاری، دانشکده کشاورزی، دانشگاه شهرکرد

بوده است. رنارد (۲۹) مدل پسیاک را همراه با سه مدل دیگر به اسامی دندی-بولتن<sup>۵</sup>، فلاکسمن<sup>۶</sup> و رنارد<sup>۷</sup> مورد ارزیابی قرارداد و نتیجه گرفت که ارزیابی مقدار رسوب‌دهی در حوزه آبریز با روش پسیاک، بیشترین همبستگی را با مقدار رسوب اندازه‌گیری شده داشته است. این روش تاکنون در ایران در حوزه سدهای دز، زاینده‌رود، میناب، کارون، مارون، قیر، هلیل رود و حوزه آبریز جاجرود مورد ارزیابی قرار گرفته و نتایج رضایت‌بخشی را به همراه داشته است (۲، ۳، ۴ و ۷). علاوه بر اقلیم، عوامل زمین‌شناسی، خصوصیات خاک و فعالیتهای بشر برای تغییر ناگهانی در فرسایش، مهمترین عامل برای رسوب‌دهی یک حوزه خصوصیات ژئومورفولوژیک نظیر سطح حوزه و مقدار آب جریان یافته در حوزه است (۲۳ و ۳۰). بازده تله‌اندازی رسوبات در مخزن به عناصری نظیر نسبت ظرفیت مخزن به حجم جریان ورودی از طریق رودخانه، عمر مخزن، نوع و محل خروجی‌ها، روش کار مخزن و مشخصات رسوبات ورودی به مخزن بستگی دارد (۱۹، ۲۱ و ۲۷). برون و آلن (۱۵) براساس درصد خاک فرسایش یافته ته‌نشین شده در مخزن و نسبت ظرفیت اولیه مخزن (C) به سطح حوزه آبریز (W) منحنی‌ای را به دست آوردند. براون (۱۴) براساس نسبت C/W و بازده واقعی تله‌اندازی در مخزن (یعنی ملحوظ داشتن رسوب وارده به مخزن) رابطه زیر را به دست آورد:

$$C_T = 100 \left[ 1 - \frac{1}{1 + 0.1(C/W)} \right] \quad [1]$$

که در آن:

$C_T$  = بازده تله‌اندازی مخزن (برحسب درصد)

$C/W$  = نسبت ظرفیت اولیه مخزن (ایکرفوت) به سطح حوزه آبخیز (مایل مربع)

در مقایسه با حجم آن زیاد باشد، عمر مفید آن بسیار کوتاه خواهد بود. سدها و ابنیه آبی زیادی در ایران و جهان از رسوبات انباشته شده و عمر مفید آنها از دست رفته است (۸، ۱۵ و ۲۲). با تبدیل مراتع و جنگلها به اراضی کشاورزی، چرای مفرط و بیش از ظرفیت مراتع، و استفاده غیر اصولی از زمین برای فعالیتهای زراعی، پوشش گیاهی که بزرگترین مانع در مقابل فرسایش باران و رواناب می‌باشد از بین رفته و سالانه مقادیر قابل توجهی رسوب از حوزه‌های آبریز، از طریق مسیلهها و رودخانه‌ها وارد منابع ذخیره آب می‌شود. کاهش سطح زیر کشت زمینهای کشاورزی و افزایش شهرنشینی سبب کاهش تولید رسوب می‌شود (۱۲ و ۲۴). عمر مفید یک سد مدت زمانی است که حدود ۸۰ درصد حجم اولیه مخزن آن پر از رسوب شود و یا زمانی که رسوبگذاری در آن مانع دستیابی به اهداف اولیه سد گردد (۲۷). این مدت زمان تابعی از حجم رسوبات وارده، وزن مخصوص مواد رسوبی و بازده (راندمان) تله‌اندازی مخزن می‌باشد.

برای تخمین رسوب حاصل از فرسایش حوزه‌ها، چندین مدل تجربی وجود دارد مانند مدل‌های ماسگریوا<sup>۱</sup>، فائو<sup>۲</sup>، معادله عمومی تلفات خاک<sup>۳</sup> (اصلاح شده) و پسیاک<sup>۴</sup> (۱، ۵، ۷، ۲۶، ۲۸ و ۲۹). در مقایسه با سایر مدل‌های تجربی، مدل پسیاک بیشترین عوامل موثر در فرسایش و تولید رسوب را در نظر می‌گیرد که هر یک بر اساس معادلات مربوطه به صورت کمی برآورد می‌شوند. این عوامل عبارتند از زمین‌شناسی سطحی، خاک، آب و هوا، رواناب، پستی و بلندی، پوشش زمین، کاربری زمین، فرسایش سطحی و فرسایش رودخانه‌ای. مدل پسیاک در ۱۷ حوزه آبریز با مساحت‌های ۱۷۴ الی ۳۸۷۲۰ هکتار در غرب آمریکا مورد ارزیابی قرار گرفته و تفاوت برآوردها با رسوب اندازه‌گیری شده بین ۱/۳ تا ۴۸/۱ درصد

1- Musgrave

2- FAO

3- MUSLE

4- PSIAC

5- Dendy-Bolton

6- Flaxman

7-Renard

تله اندازی سدها، در این تحقیق نتایج به دست آمده با نتایج تحقیقات برون مقایسه گشته است.

هدف از تحقیق حاضر عبارت است از محاسبه بازده تله اندازی رسوب در تعدادی از مخازن سدهای کوچک استان چهارمحال و بختیاری. این مطالعه به دلایل زیر صورت گرفته است:

۱- منحنی برون عمدتاً برای مخازن سدهای بزرگ با حجم زیاد مخزن استفاده می شود.

۲- در مورد رسوبگذاری و بازده تله اندازی رسوب در سدهای کوتاه و با حجم کم مخزن، مطالعات گسترده ای انجام نشده است.

۳- ذخیره آب و کنترل سیلاب در منطقه چهارمحال و بختیاری، نظیر سایر مناطق خشک و نیمه خشک ایران مهم است.

۴- هیچ گونه ایستگاه هیدرومتری و رسوب سنجی در ورودی به سدهای انتخابی در این منطقه وجود ندارد و تخمین منطقی رواناب و رسوب از این لحاظ بسیار حیاتی است.

۵- چنین مطالعاتی می تواند الگویی برای سایر سدهای کوتاه و با مخزن کم حجم در مناطق مختلف ایران باشد.

#### مواد و روشها

به منظور ارزیابی بازده (راندمان) تله اندازی رسوب در مخازن سدهای کوچک، تعداد ۱۴ سد خاکی کوتاه (با ارتفاع کمتر از ۱۵ متر و حجم کمتر از حدود یک میلیون مترمکعب) به نامهای تومانک، چهاربازار، درازنو، درختی، زانیونی، سرشنیز، سیاسرد، قطارقاش، گهرباران، مرغملک، مصطفی آباد، وانان، هارونی و هرچگان در شمال و شمال شرق استان چهارمحال و بختیاری، در یکی از زیرحوزه های رودخانه کارون به نام حوزه بهشت آباد، انتخاب شد (شکل ۱). این سدها عمدتاً برای مهار سیلاب و تغذیه مصنوعی آبهای زیرزمینی احداث شده و فاقد ایستگاه هیدرومتری و رسوب سنجی می باشند. اقلیم عمومی منطقه نیمه مرطوب معتدل با زمستانهای سرد است

مور و همکاران (۲۵) اطلاعات حاصل از تحقیق گوتچاک و برون را در یک نمودار گردآورده و بهترین منحنی را بین نقاط آن برازش دادند. پورلند (۱۳) نشان داد که منحنی ها می توانند به صورت رابطه بازده تله اندازی با زمان ماند<sup>۱</sup> (برحسب روز) رسم شوند. چرچیل (۱۸) بازده تله اندازی مخزن را براساس شاخص رسوبگذاری، که عبارت است از نسبت زمان نگهداشت به سرعت متوسط جریان در مخزن، تعریف نمود و یک منحنی ارائه کرد.

برون (۱۶) اطلاعات ثبت شده ۴۴ مخزن مختلف در ایالات متحده را تجزیه و تحلیل نموده و دریافت که نسبت ظرفیت مخزن به حجم جریان ورودی، همبستگی بهتری با بازده تله اندازی رسوب (در مقایسه با نسبت ظرفیت مخزن به سطح حوزه) نشان می دهد. در مورد میزان رسوب انتقال یافته از سطح حوزه های آبریز به رودخانه ها و مخازن سدها و همچنین بازده تله اندازی رسوب مطالعات دیگری نیز انجام گرفته است (۱۲، ۱۷، ۱۹، ۲۱ و ۳۱). دندی و کوپر (۱۹) بازده تله اندازی در یک مخزن ۲/۷ ایکری را در یک دوره دو ساله اندازه گیری کردند و بازده کلی را ۷۷ درصد و تغییرات ماهانه آن را ۹ تا ۱۰۰ درصد به دست آوردند. قمشی (۸) بازده تله اندازی رسوب در سد دز را محاسبه کرد و نتیجه گرفت که کاربرد منحنی برون نسبت به منحنی چرچیل به واقعیت نزدیکتر است.

به طور کلی، می توان عوامل موثر بر بازده تله اندازی رسوب را به سه دسته تقسیم نمود: (۱) پارامترهای حوزه آبریز، (۲) پارامترهای مخزن و (۳) اثر متقابل پارامترهای حوزه و مخزن (۱۰). عوامل مربوط به حوزه آبریز را می توان در حجم رواناب سالانه (I) خلاصه نمود. حجم رواناب سالانه بستگی به عواملی چون مساحت حوزه، بارندگی، شیب حوزه، شیب آبراهه اصلی، پوشش گیاهی و خاک دارد. از عوامل مربوط به مخزن می توان شکل مخزن، حجم مخزن، اندازه دریچه ها و محل قرار گرفتن آنها و نیز مدیریت مخزن را نام برد.

به دلیل کاربرد گسترده منحنی برون در محاسبه بازده

1- Retention time

آبخیز مورد مطالعه را به واحدهای هیدرولوژیک مناسب و یا هر واحد ارضی دیگر (بسته به نظر و قضاوت کارشناسی) تقسیم نمود و سپس عوامل نه گانه را در هر یک از واحدهای منظور شده نمره گذاری کرد. حاصل جمع نمرات ۹ عامل (که به آن درجه رسوب دهی گویند) بیانگر شدت فرسایش خاک و تولید رسوب آن واحد می باشد. میزان تولید رسوب سالانه از جدول ۲ و یا فرمول [۲] قابل محاسبه است.

$$Q_s = 38 / \sqrt{ve^{0.0358R}} \quad [2]$$

که در آن :

$$Q_s = \text{میزان تولید رسوب سالانه (m}^3/\text{km}^2\text{-year)}$$

$$R = \text{درجه رسوب دهی}$$

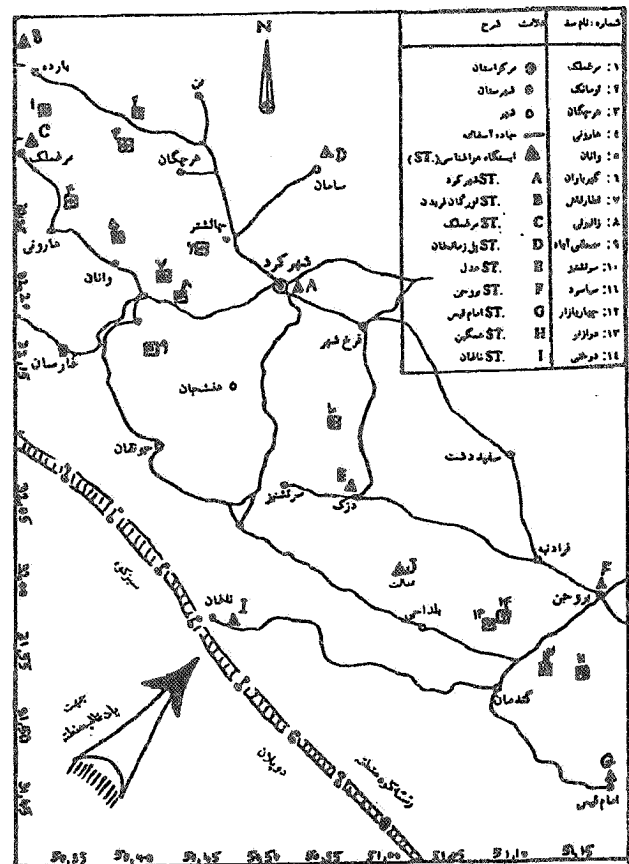
از آنجا که مخزن سدهای مورد مطالعه در فصل تابستان اکثراً خشک است، در تابستان سال ۱۳۷۳ اقدام به نقشه برداری از مخازن گردید و نقشه های توپوگرافی ثانویه (چندین سال بعد از شروع بهره برداری از سدها) رسم شد. نقشه اولیه بعضی از سدها موجود نبود. در نتیجه، در نقاط مختلف هر یک از مخازن با حفر چاهک (به فاصله ۱۰ متر از یکدیگر) توسط آگرا، عمق رسوبات اندازه گیری شده و با توجه به رقوم نقشه ثانویه، رقوم نقشه اولیه به دست آمد. رقوم سایر نقاط مخازن با میان یابی تعیین گردید و در نهایت نقشه اولیه تمام مخازن رسم شد. پس از تهیه نقشه های اولیه و ثانویه مخازن، مساحتی که هر خط تراز در برگرفته است توسط پلانیمتر اندازه گیری گردید و در نهایت حجم اولیه و ثانویه مخازن با استفاده از رابطه [۳] محاسبه شد (۲۱):

$$V = \sum_{i=1}^{n-1} \left( \frac{A_i + A_{i+1}}{2} \right) \Delta H_i \quad [3]$$

که در آن :

$$V = \text{حجم مخزن (مترمکعب)}$$

$$A_i = \text{سطح مربوط به خط تراز } i \text{ (مترمربع)}$$



شکل ۱- محل سدهای مورد مطالعه در استان

چهارمحال و بختیاری.

(۱۰). میانگین دراز مدت درجه حرارت سالانه منطقه سدها بین ۸/۲ تا ۱۱/۲ درجه سانتیگراد و میانگین بارش سالانه بین ۴۳۴/۷ تا ۷۲۸/۱ میلیمتر متغیر است.

جهت محاسبه فرسایش و تولید رسوب حوزه های مورد مطالعه از مدل تجدیدنظر شده پسیاک (۵) استفاده شد. در روش پسیاک، پس از بررسی دقیق صحرایی و انجام مطالعات ضروری برای شناخت عوامل نه گانه فوق، به منظور تعیین تأثیر و نقش آنها در فرسایش خاک و تولید رسوب، نتیجه بررسی به صورت ارقام و یا نمراتی که دال بر اهمیت و شدت تأثیر آنها در تولید رسوب حوزه آبخیز مورد مطالعه می باشد نشان داده می شود (جدول ۱). برای کاربرد روش پسیاک ابتدا باید حوزه

جدول ۱- عوامل موثر در فرسایش خاک و تولید رسوب و نمرات مربوطه در روش MPSIAC (۱، ۹ و ۱۰)

شماره ردیف	عوامل موثر	حدود نمرات	نوع سنگ، سختی، خردشدگی، هوادبگی، سستی	خصوصیات مهم قابل بررسی	عوامل موثر	شماره ردیف
۱	زمین شناسی سطحی	۰-۱۰	$X_1$ : شاخص فرسایش زمین شناسی	معادله و توضیحات مربوط به عوامل موثر	$Y_1 = X_1$	۱
۲	خاک	۰-۱۰	$X_2$ : حساسیت خاک به فرسایش	بافت، خاصیت انقباض و انبساط، شوری و قلیایی، مواد آلی، ساختمان، سنگلاخی	$Y_2 = 16/67 X_2$	۲
۳	آب و هوا	۰-۱۰	$X_3$ : میزان بارندگی	تواتر رگبارها، شدت و مدت بارندگی، برف، ذوب و انجماد	$Y_3 = 0/2 X_3$	۳
۴	رواناب	۰-۱۰	$X_4$ : مجموع ارتفاع رواناب سالانه	حجم آبدی در واحد سطح، شدت طغیان در واحد سطح، گروه هیدرولوژیکی خاکها	$Y_4 = 0/2 X_4$	۴
۵	پستی و بلندی	۰-۲۰	$X_5$ : شیب متوسط حوزه برحسب درصد	شیب مناطق بالا دست، پستی و بلندی، توسعه آبرفتها و دشتهای سیلابی	$Y_5 = 0/33 X_5$	۵
۶	پوشش زمین	(+۱۰) - (-۱۰)	$X_6$ : درصد زمین لخت	پوشش گیاهی، لاشیرگ، پوشش سنگی، وضعیت اشکوب زیر درختها و درختچهها	$Y_6 = 0/2 X_6$	۶
۷	کاربری زمین	(+۱۰) - (-۱۰)	$X_7$ : درصد تاج پوشش گیاهی	درصد اراضی زراعی، نحوه استفاده از اراضی، شدت چرای دام، وضعیت جادهها، شدت بهره برداری از محصولات جنگلی	$Y_7 = 20-0/2 X_7$	۷
۸	فرسایش سطحی	۰-۲۵	$X_8$ : فرسایش سطحی خاک	شدت فرسایش شپاری و خندقی، فرسایش لغزشی، حرکت توده‌ای	$Y_8 = 0/25 X_8$	۸
۹	فرسایش رودخانه‌ای	۰-۲۵	$X_9$ : فرسایش رودخانه‌ای	فرسایش در کناره‌ها و بستر، فرسایش بالا رونده، عمق جریان، شیب هیدرولیکی	$Y_9 = 1/67 X_9$	۹

جدول ۲- تعیین میزان تولید رسوب سالانه و کلاس فرسایش خاک در مدل اصلاح شده پسیاک (۱، ۲۲)

درجه رسوبدهی	تولید رسوب سالانه ( $m^3/km^2$ )	کلاس فرسایش
۱۰۰	> ۱۴۲۹	خیلی زیاد
۷۵-۱۰۰	۴۷۶-۱۴۲۹	زیاد
۵۰-۷۵	۲۳۸-۴۷۶	متوسط
۲۵-۵۰	۹۵-۲۳۸	کم
۰-۲۵	< ۹۵	خیلی کم

تعداد سالهای بهره‌برداری در نظر گرفته شد. جدول ۳ مشخصات کلی سدهای مورد مطالعه را نشان می‌دهد. لازم به ذکر است که سد درختی به دلیل واقع شدن در فاصله کمی از سد درازنو، پس از مطالعات اولیه حذف شد.

#### نتایج و بحث

با استفاده از مدل پسیاک، مقدار رسوب ویژه سالانه و کلاس فرسایش از رابطه (۲) و جدول ۲ برای هر یک از مخازن محاسبه شد (جدول ۴). چنانچه این اعداد در مساحت حوزه آبریز مربوطه ضرب شود حجم تخمینی رسوبات ورودی سالانه به مخازن را به دست می‌دهد.

مثلاً برای حوزه هرچگان:

$$Q_s = 38 / \sqrt{776} \times 0.358(64/69) = 392/90 \text{ m}^3/\text{km}^2/\text{y}$$

نتایج اندازه‌گیری (از طریق نقشه‌برداری) حجم رسوبات ته‌نشین شده در مخازن مورد مطالعه در جدول ۵ ارائه شده است. با توجه به جدول ۵، اگر حجم رسوبات برجای مانده در مخزن (روش عمق متوسط رسوب) در دوره بهره‌برداری، بر تعداد سال بهره‌برداری و مساحت حوزه آبریز تقسیم شود، حجم رسوبات سالانه بر جای مانده در مخزن به دست می‌آید (جدول ۶). از تقسیم حجم رسوبات برجای مانده سالانه بر حجم رسوبات ورودی سالانه (رسوب ویژه)، بازده تله‌اندازی رسوب برای هر مخزن از رابطه (۴) محاسبه می‌شود (جدول ۶).

$A_{i+1}$  = سطح مربوط به خط تراز  $i+1$  (متر مربع)  
 $\Delta H_i$  = تفاوت رقوم ارتفاعی دو خط تراز متوالی  $i$  و  $i+1$  (متر)  
 اختلاف حجم اولیه و ثانویه، حجم رسوبات برجای مانده در مخزن سد در طول دوره بهره‌برداری است. از مزایای این روش این است که می‌توان برای هر یک از مخازن، منحنی‌های سطح - ارتفاع و حجم - ارتفاع را رسم نموده و با توجه به این منحنی‌ها، حجم و سطح مخزن را در هر تراز دلخواه به دست آورد. دقت این روش محاسبه حجم، بستگی به دقت عملیات نقشه‌برداری، محاسبه مساحت‌ها و مقیاس نقشه دارد.

با توجه به این نکته که عمق رسوبات در ترازهای بالای مخازن کمتر از ۵ سانتیمتر بود و مقیاس نقشه‌ها نیز آنقدر بزرگ نبود (۱:۱۰۰۰) که تفاوت‌های چند سانتیمتری را نشان دهد، لذا از روش دیگری نیز برای محاسبه حجم رسوبات برجای مانده در مخازن سدهای مورد مطالعه استفاده گردید. در این روش، ابتدا بین دو خط تراز متوالی، عمق متوسط رسوب به دست آمد (این عمق با توجه به اختلاف رقوم مخزن در نقشه‌های اولیه و ثانویه حاصل شد). سپس سطح محصور بین دو خط تراز متوالی در عمق متوسط رسوب ضرب گردید (نظیر رابطه ۳ ولی بجای تفاوت رقوم ارتفاعی از عمق متوسط رسوب استفاده شد). نتیجه این کار، حجم رسوبات بین دو خط تراز متوالی است و لذا حجم رسوبات مخزن برابر مجموع رسوبات محاسبه شده خواهد بود.

چون هیچگونه ایستگاه اندازه‌گیری رسوب در ورودی مخازن وجود ندارد، میزان رسوب بر جای مانده سالانه، برابر کل حجم رسوبات اندازه‌گیری شده در سال ۱۳۷۳، تقسیم بر

جدول ۳ - مشخصات کلی سدهای مورد مطالعه (۶ و ۱۱)

نام سد	سال شروع بهره برداری	ارتفاع سد (m)	عمق سرریز* (m)	طول تاج (m)	حداکثر سطح دریاچه (ha)	حداکثر ظرفیت اولیه <sup>(۱)</sup> (m <sup>۳</sup> )	ظرفیت اولیه <sup>(۲)</sup> (m <sup>۳</sup> )
هرچگان	۱۳۶۶	۱۴/۵۰	۱/۵	۳۰۷	۱۲/۲۳۲	۵۷۰۵۸۴	۴۱۱۱۳۲
چهار بازار	۱۳۶۸	۶/۵۰	۱/۳۷	۳۴۵	۶/۳۷۶	۱۶۱۹۱۵	۱۱۰۶۹۵
تومانک	۱۳۶۸	۱۷/۷۰	۰/۸۰	۳۸۳	۱۷/۰۵	۱۰۲۹۹۷۰	۹۰۴۶۱۰
سرتشنیز	۱۳۶۸	۱۱/۴۰	۱/۶۶	۱۶۵	۷/۳۵۳	۳۶۹۷۱۳	۲۶۰۰۷۶
مصطفی آباد	۱۳۶۵	۹/۲۰	۱/۳۶	۱۶۲	۴/۰۳۵	۱۶۷۶۰۱	۱۱۸۵۲۴
سیاسرد	۱۳۶۶	۸/۸۰	۱/۰۰	۱۳۸	۱/۰۳۹	۳۱۵۶۱	۲۲۳۸۷
مرغملک	۱۳۶۷	۸/۸۰	۱/۴۰	۳۹۸	۳/۲۴۶	۱۳۰۱۹۳	۹۱۰۱۸
هارونی	۱۳۶۸	۱۰/۶۵	۱/۵۲	۱۶۰	۴/۵۹	۲۱۰۹۷۳	۱۴۹۳۴۱
درازنو	۱۳۶۷	۷/۸۵	۱/۲۰	۲۳۰	۷/۵۵۹	۲۵۴۸۶۶	۱۷۴۲۳۳
زانوینی	۱۳۶۶	۹/۳۵	۱/۳۱	۱۲۸	۳/۴۰۲	۱۳۱۵۲۴	۹۲۴۰۷
وانان	۱۳۶۸	۱۰/۲۲	۱/۷۲	۱۹۶	۴/۳۳۴	۱۷۹۸۸۰	۱۱۸۰۳۷
گهرباران	۱۳۶۷	۷/۷۵	۰/۵۷	۴۳۴	۷/۷۶۰	۲۱۳۲۶۳	۱۷۶۰۲۸
قطارقاش	۱۳۶۶	۷/۱۵	۱/۱۲	۱۱۶	۱/۸۵	۵۶۴۵۰	۳۸۱۰۸

\* کلیه سدها دارای سرریز اضطراری و لوله آبیگر هستند.

(۱) ظرفیت مخزن تا تراز تاج سد.

(۲) ظرفیت مخزن تا تراز کف سرریز.

$$T_e = 100 \left( \frac{Q_{sm}}{Q_s} \right) \quad [۴]$$

که در آن:

$T_e$  = بازده تله اندازی رسوب (درصد)

$Q_{sm}$  = حجم رسوبات سالانه ته نشین شده در مخزن سد (متر مکعب در کیلومتر مربع در سال)

مکعب در کیلومتر مربع در سال)

$Q_s$  = رسوب ویژه تخمینی که وارد مخزن سد می شود (متر مکعب در کیلومتر مربع در سال)

همان طور که قبلاً بیان گردید، مخازن مورد مطالعه دارای

جدول ۴ - نتایج حاصل از ارزیابی عوامل نه گانه مدل پسیاک و محاسبه رسوب ویژه

نام حوزه	مساحت حوزه زمین شناسی	سطحی (۱)	(۲)	(۳)	(۴)	(۵)	(۶)	(۷)	(۸)	رودخانه‌های (۹)	R (۱+...+۹)	رسوب ویژه $D_s$ (متر)	کلاس فرسایش
هرچگان	۳۸/۹۸	۴/۸۵	۲/۵	۴/۳۴	۷/۲۴	۱۰/۳۲	۰/۳۶	۱۴/۹	۱۰/۲۵	۱۰/۰۲	۶۴/۶۹	۳۹۲/۹۰	متوسط
چهار بازار	۱۹/۰۸	۶/۰	۳/۳	۴/۲۸	۶/۴۰	۵/۲۱	۳/۵	۱۰/۹۶	۱۱/۲۵	۶/۶۸	۵۷/۵۸	۳۰۴/۶۰	متوسط
تومانک	۱۷/۴۲	۳/۶۷	۲/۶	۴/۲۴	۸/۷۳	۸/۰۹	۷/۳۸	۱۳/۵	۱۰/۵	۱۱/۶۹	۷۰/۴	۴۸۲/۰۱	نسبتاً زیاد
سرتشینز	۱۰/۶۰۸	۵/۰۵	۴/۵	۴/۲۸	۹/۶۹	۸/۴۲	۵/۷	۱۱/۹۵	۱۲/۷۵	۸/۳۵	۷۰/۶۹	۴۸۷/۰۴	نسبتاً زیاد
مصطفی آباد	۹/۳۱۴	۴/۹	۴/۱۶	۴/۳۴	۹/۲۵	۱۰/۱	۸/۷	۱۴/۴	۸/۲۵	۱۶/۷	۹۰/۸	۱۰۰۰۰/۵۳	زیاد
سیاسرد	۶/۰۵۲	۵/۵	۳/۳	۴/۲۸	۱۱/۸۵	۱۰/۲	۲/۸۹	۱۲/۴۷	۱۵/۰	۱۰/۰۲	۷۵/۵۱	۵۷۸/۷۷	نسبتاً زیاد
مرغملک	۳/۸۵۲	۴/۸۷	۳/۳	۴/۳۴	۱۳/۱۲	۹/۶	۰/۲۷	۹/۱	۵/۷۵	۱/۶۷	۵۲/۰۲	۲۴۹/۶۳	نسبتاً متوسط
هارونی	۳/۱۵۶	۵/۵۵	۲/۸	۴/۳۴	۱۰/۹۹	۱۰/۲	۴/۱۹	۱۳/۲۲	۱۱/۵	۳/۳۴	۶۶/۱۳	۴۱۳/۶۸	متوسط
درازنو	۲/۷۶	۵/۵	۳/۱۶	۴/۲۸	۱۱/۹۰	۷/۸	۲/۰۹	۱۷/۵۹	۱۱/۲۵	۳/۳۴	۶۶/۹۱	۴۲۵/۴۰	متوسط
زاینونی	۲/۴۴	۶/۰	۳/۳	۴/۳۴	۱۱/۲۴	۷/۹۵	۶/۰۵	۱۳/۶۵	۱۶/۵	۱۱/۶۹	۸۰/۷۲	۶۹۷/۴۴	نسبتاً زیاد
وانان	۲/۲۰۲	۶/۰	۳/۱۶	۴/۳۴	۱۳/۲۸	۷/۶۹	۲/۴۳	۱۵/۴	۱۰/۷۵	۵/۰۱	۶۸/۰۶	۴۴۳/۲۸	متوسط
گهریاران	۲/۱۶۶	۵/۱	۳/۰	۴/۳۴	۱۱/۸۴	۶/۸۳	۶/۱۸	۱۵/۴۸	۲۱/۲۵	۲۰/۰۴	۹۴/۰۶	۱۱۲۴/۳۹	زیاد
قطارقاش	۲/۰۳۶	۶/۰	۴/۶	۴/۳۴	۱۳/۵۴	۶/۶۷	۳/۳۳	۱۱/۵۳	۱۲/۲۵	۸/۳۵	۷۰/۶۱	۴۸۵/۶۵	متوسط



جدول ۵ - برآورد رسوبات برجای مانده در مخازن مورد مطالعه بر اساس عملیات نقشه برداری

نام مخزن	سال شروع بهره برداری	دوره بهره برداری + (سال)	حداکثر عمق رسوب ++ (متر)	حجم رسوبات در مخزن* (m <sup>۳</sup> )	حجم رسوبات در مخزن** (m <sup>۳</sup> )
هرچگان	۱۳۶۶	۷	۰/۹۵۵	۲۳۳۴۶	۲۳۳۴۶
چهار بازار	۱۳۶۸	۵	۰/۹۳	۱۳۴۸۳	۱۰۲۲۳
تومانک	۱۳۶۸	۵	۱/۰۵	۱۰۵۷۶	۸۹۱۰
سرتشنیز	۱۳۶۸	۵	۱/۰۳	۸۹۰۹	۸۹۰۹
مصطفی آباد	۱۳۶۵	۸	۱/۵۱	۹۳۰۲	۱۰۳۴۲
سیاسرد	۱۳۶۶	۷	۲/۱۰	۲۵۴۸	۲۶۴۰
مرغملک	۱۳۶۷	۶	۰/۲۸	۱۵۰۴	۶۹۱
هارونی	۱۳۶۸	۵	۰/۸۴	۴۲۶۲	۵۳۵۳
درازنو	۱۳۶۷	۶	۰/۲۹	۳۶۵۶	۱۹۰۳
زانپونی	۱۳۶۶	۷	۱/۰۶	۴۸۸۳	۵۶۲۹
وانان	۱۳۶۸	۵	۰/۶۴	۳۰۹۰	۳۰۹۰
گهاریان	۱۳۶۷	۶	۱/۷۰	۱۰۰۷۵	۱۰۰۷۵
قطارقاش	۱۳۶۶	۷	۱/۱۶	۲۸۵۸	۴۵۷۵

+ از سال شروع بهره برداری تا تابستان ۱۳۷۳.

++ تفاوت رقم ارتفاعی مخزن در گودترین قسمت (به دست آمده از نقشه های اولیه و ثانویه)

\* حجم رسوبات در دوره بهره برداری با توجه به روش حجم - ارتفاع.

\*\* حجم رسوبات در دوره بهره برداری با توجه به روش عمق متوسط رسوب.

جدول ۶ - محاسبه راندمان تله اندازی مخازن براساس نتایج مدل پسیاک و نقشه برداری مخازن

نام مخزن	مساحت حوزه ( $Km^2$ )	حجم رسوبات سالانه ( $m^3/Km^2/h$ )	رسوب ویژه $Q_s$ ( $m^3/Km^2/h$ )	بازده تله اندازی* $Te$ (درصد)
هرچگان	۳۸/۹۸	۸۵/۵۶	۳۹۲/۹۰	۲۱/۸
چهار بازار	۱۹/۰۸	۱۴۱/۳۳	۳۰۴/۶۰	۴۶/۴
تومانک	۱۷/۴۲	۱۲۱/۴۲	۴۸۲/۰۱	۲۵/۲
سرتشینز	۱۰/۶۰۸	۱۶۷/۹۷	۴۸۷/۰۴	۳۴/۵
مصطفی آباد	۹/۳۱۴	۱۲۴/۸۴	۱۰۰۰/۵۳	۱۲/۵
سیاسرد	۶/۰۵۲	۶۰/۱۵	۵۷۸/۷۷	۱۰/۴
مرغملک	۳/۸۵۲	۶۵/۰۷	۲۴۹/۶۳	۲۶/۱
هارونی	۳/۱۶۵	۲۷۰/۰۹	۴۱۳/۶۸	۶۵/۳
درازنو	۲/۷۶	۲۲۰/۷۷	۴۲۵/۴۰	۵۱/۹
زانیونی	۲/۴۴	۲۸۵/۸۹	۶۹۷/۴۴	۴۱
وانان	۲/۲۰۲	۲۸۰/۶۵	۴۴۳/۲۸	۶۳/۳
گهرباران	۲/۱۶۶	۷۷۵/۲۴	۱۱۲۴/۳۹	۶۸/۹
قطارقاش	۲/۰۳۶	۲۰۰/۵۳	۴۸۵/۶۵	۴۱/۳

\*  $100 \times (\text{رسوب ویژه}) / (\text{حجم رسوبات سالانه}) = \text{بازده تله اندازی}$

بیشتر از یک شوند بازده تله اندازی بیشتر از ۱۰۰ درصد خواهد شد.

معادله [۷] در سطح یک درصد معنی دار بوده و دارای ضریب تبیین ۰/۸۲۴ است. این مدل از لحاظ فیزیکی نیز معنی دار بوده و به خوبی روابط بین عناصر موثر در بازده تله اندازی رسوب در سدهای مورد مطالعه را تفسیر می کند. شکل ۲ رابطه حاکم بر عناصر این معادله را به صورت ترسیمی و در مقایسه با منحنی برون نشان می دهد. همان طور که از این شکل پیداست، منحنی های به دست آمده از این معادله، در زیر منحنی برون واقع شده اند، یعنی در یک  $\frac{L}{B}$  و  $\frac{C}{I}$  یکسان، بازده تله اندازی رسوب در مخزن سدهای کوچک کمتر از سدهای بزرگ است. دلیل این امر اثر مهم پارامتر  $L/B$  است، چرا که سدهای بزرگ دارای  $L/B$  بسیار بزرگتری از سدهای کوچک بوده و به دلیل طولیل بودن دریاچه آنها، رسوبات فرصت بیشتری برای ته نشین شدن خواهند داشت. همچنین در شکل ۲ دیده می شود که در یک  $C/I$  ثابت، با افزایش  $L/B$  اختلاف بازده تله اندازی به تدریج کمتر خواهد شد. یعنی سدهایی که طول مخزن آنها بسیار زیاد است، بازده تله اندازی مخازن آنها تفاوت چندانی با هم نخواهد داشت.

معادله [۸] نیز از لحاظ آماری معنی دار بوده و تفاوت آن با دو معادله دیگر در این است که پارامتر  $L/B$  در آن وجود ندارد. این معادله و معادله برون از ساختار مشابهی برخوردار بوده و تنها تفاوت آنها در نمای معادله است. منحنی معادله [۸] نیز در زیر منحنی برون قرار می گیرد (شکل ۳) و بیانگر بازده تله اندازی کمتر سدهای کوچک در مقایسه با سدهای مخزنی بزرگ است. با توجه به اهمیت پارامتر  $L/B$  در بازده تله اندازی رسوب در مخازن سدهای کوچک، معادله [۷] به عنوان بهترین معادله، که روابط حاکم بر عناصر موثر در بازده تله اندازی رسوب را در منطقه چهارم حال و بختیاری تبیین می کند، انتخاب شده و

دریچه های عمقی و تخلیه رسوب نبوده و نیز سیلاب خروجی از آنها توسط سرریزهای اضطراری غیر قابل تنظیم است و بدون هیچ کنترلی خارج می شود. در نتیجه، عناصر مربوط به مخزن که بر بازده تله اندازی رسوب مخازن مورد مطالعه اثر می گذارند، حجم و شکل مخزن است. برای بیان اثر عوامل مربوط به حوزه و مخزن بر بازده تله اندازی رسوب در مخزن، می توان معادله کلی زیر را بسط داد:

$$T_e = f\left(\frac{C}{I}, \frac{L}{B}\right) \quad [5]$$

که در آن:

$T_e$  = بازده تله اندازی

$C$  = ظرفیت مخزن سد

$I$  = رواناب ورودی سالانه

$L$  = طول مخزن

$B$  = متوسط عرض مخزن.

مراحل محاسبه نسبت  $L/B$ ، برای هر یک از مخازن مورد مطالعه در جدول ۷ نشان داده شده است. برای تجزیه و تحلیل معادله [۵] از نرم افزار آماری استات گراف<sup>۱</sup> استفاده شد و معادله های زیر به دست آمد:

$$T_e = 100 \left(\frac{C}{I}\right)^{0/6862} \left(\frac{L}{B}\right)^{0/212} \quad [6]$$

$$T_e = 100 \left[1 - \frac{1}{1 + 100 \cdot (C/I)(L/B)}\right]^{35/2827} \quad [7]$$

$$T_e = 100 \left[1 - \frac{1}{1 + 100 \cdot (C/I)}\right]^{7/163} \quad [8]$$

معادله [۶] دارای ضریب تبیین<sup>۲</sup> بسیار خوبی بوده  $(R^2_{adj} = 0/9482)$  و از لحاظ آماری رضایت بخش است اما از لحاظ فیزیکی معنی دار نیست زیرا اگر نسبت های  $C/I$  و  $L/B$

1- Statgraphics

2- Adjusted coefficient of determination

جدول ۷ - محاسبه ضریب شکل مخازن سدهای مورد مطالعه

نام مخزن	ظرفیت (۱) C (m <sup>۳</sup> )	طول L (m)	عمق متوسط (۲) H (m)	$B = \frac{C}{LH}$ (۳) (m)	$S_f$ (۴)	رواناب ورودی سالانه I (۵) (Mm <sup>۳</sup> )
هرچگان	۴۱۱۱۳۲	۶۶۸	۱۰/۳۵	۵۹/۴۶	۱۱/۲۳	۹/۱۵۲۸
چهار بازار	۱۱۰۶۹۵	۲۰۵	۳/۷۶	۱۴۳/۶۱	۱/۴۳	۳/۴۳۹۴
تومانک	۹۰۴۶۱۰	۴۲۰	۱۳/۳۲	۱۶۱/۷۰	۲/۶۰	۳/۷۷۷۴
سرتشیز	۲۶۰۰۷۶	۳۴۰	۷/۰۹	۱۰۷/۸۹	۳/۱۵	۱/۷۰۲۸
مصطفی آباد	۱۱۸۵۲۴	۲۱۴	۵/۶۴	۹۸/۲۰	۲/۱۸	۲/۰۵۱۴
سیاسرد	۲۲۳۸۷	۲۳۰	۵/۹۴	۱۶/۳۸	۱۴/۰۴	۱/۲۴۴۱
مرغملک	۹۱۰۱۸	۲۲۰	۵/۱۷	۸۰/۰۲	۲/۷۵	۰/۸۸۵۸
هارونی	۱۴۹۳۴۱	۳۵۰	۶/۶۷	۶۳/۹۷	۵/۴۷	۰/۶۵۵۷
درازنو	۱۷۴۲۳۳	۲۶۳	۴/۹۲	۱۳۴/۶۵	۱/۹۵	۰/۵۹۶۵
زانوئی	۹۲۴۰۷	۲۵۰	۵/۹۶	۶۲/۰۲	۴/۰۳	۰/۴۶۹۶
وانان	۱۱۸۰۳۷	۱۶۰	۶/۴۶	۱۱۴/۲۰	۱/۴۰	۰/۴۴۰۲
گهرباران	۱۷۶۰۲۸	۲۳۰	۵/۶۷	۱۳۴/۹۸	۱/۷۰	۰/۳۸۱۲
قطارقاش	۳۸۱۰۸	۱۳۶	۴/۴۹	۶۲/۴۱	۲/۱۸	۰/۳۵۲۳

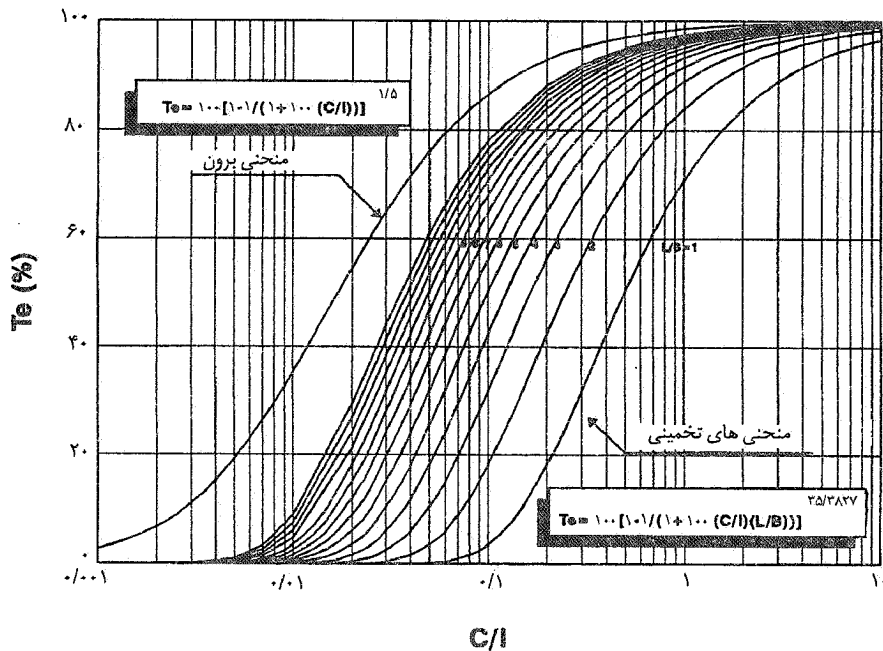
۱ - ظرفیت اولیه مخزن تا رقوم کف سرزیر.

۲ - عمقی که نصف حجم مخزن در زیر آن واقع است (از طریق منحنی حجم - ارتفاع، عمقی از مخزن که نصف حجم مخزن در زیر آن واقع می‌شود، به دست آمده و این عمق به عنوان عمق متوسط مخزن در نظر گرفته می‌شود).

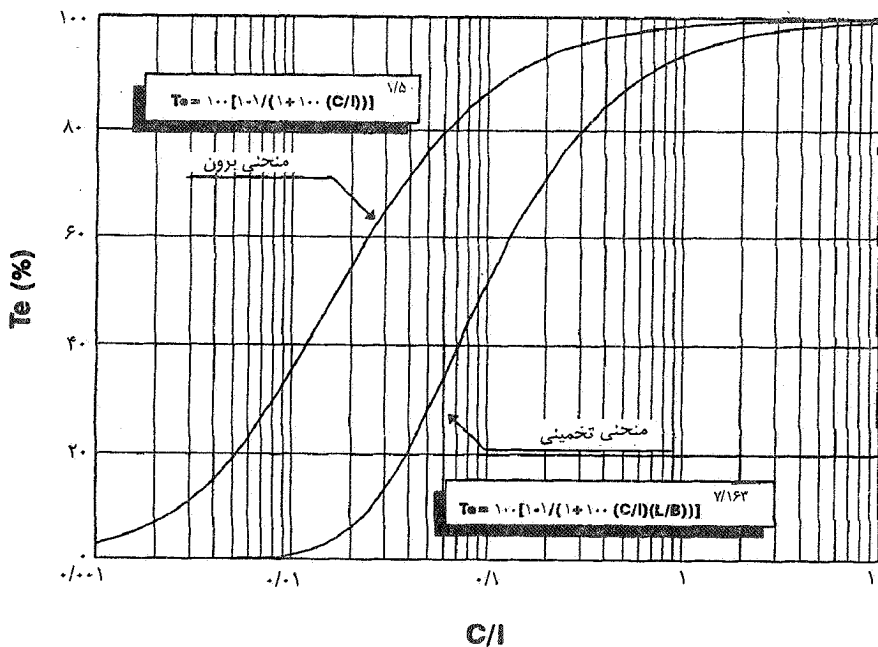
۳ - سطح مقطع متوسط جریان در مخزن.

۴ - عرض متوسط جریان در مخزن.

۵ - حجم رواناب ورودی سالانه که براساس مقدار بارندگی در دوره بهره‌برداری از سدها و ضریب رواناب محاسبه شده است (میلیون مترمکعب) (۶).



شکل ۲- مقایسه منحنی های به دست آمده از معادله (۷) و منحنی برون



شکل ۳- مقایسه منحنی های به دست آمده از معادله (۸) و منحنی برون

پیشنهاد می‌گردد.

### سپاسگزاری

بخشی از هزینه‌های اجرای این تحقیق از طریق شورای تحقیقات آب کشور و سازمان تحقیقات کشاورزی تأمین گردیده است که بدین وسیله قدردانی می‌گردد.

توصیه می‌شود که تحقیقات مشابهی در سایر سدهای کوچک در مناطقی با آب و هوا، خاک و پوشش گیاهی متفاوت در ایران انجام گیرد تا معادله جامع‌تری به دست آید.

### منابع مورد استفاده

- ۱- اردشیری، ع.م. ۱۳۶۸. برآورد میزان تولید رسوب حوزه آبخیز از طریق ارزیابی عوامل موثر در فرسایش خاک و رسوبزایی، مجموعه مقالات اولین کنفرانس هیدرولوژی ایران، ۲۳-۲۰ خرداد، دانشکده فنی، دانشگاه تهران، ص ۶۹۱ تا ۷۰۶.
- ۲- باقرزاده کریمی، م. ۱۳۷۲. بررسی مدل‌های برآورد فرسایش و رسوب و کاربرد تصاویر ماهواره‌ای و GIS در مطالعات فرسایش خاک، پایان نامه کارشناسی ارشد، دانشکده منابع طبیعی، دانشگاه تهران.
- ۳- جلالیان، ا. ۱۳۶۸. مطالعات کیفی و کمی فرسایش خاک در حوزه آبخیز شمالی رودخانه کارون، مجله منابع طبیعی ایران، شماره ۴۳، ص ۲۷ تا ۴۴.
- ۴- جلالیان، ا.، ا. محمدی قهساره و ح. ر. کریمزاده. ۱۳۷۳. فرسایش خاک و علل آن در حوزه‌های آبخیز و ارائه نتایج موردی در بعضی حوزه‌های آبخیز ایران، چهارمین کنگره علوم خاک ایران، دانشگاه صنعتی اصفهان، ص ۹ تا ۱۰.
- ۵- حاجی بیگلر، م. ۱۳۷۰. برآورد رسوب از طریق فرمول‌های تجربی در حوزه سفید رود، پایان‌نامه کارشناسی ارشد، دانشکده منابع طبیعی، دانشگاه تهران.
- ۶- صمدی بروجنی، ح. ۱۳۷۴. ارزیابی رسوبگذاری در مخازن سدهای کوچک منطقه چهارمحال و بختیاری، پایان‌نامه کارشناسی ارشد، دانشکده کشاورزی، دانشگاه تربیت مدرس، ۱۹۱ صفحه.
- ۷- طهماسبی پور، ن.، م. نجفی دیسفانی و م. مهدوی. ۱۳۷۴. کاربرد و ارزیابی مدل جدید پسیاک برای تهیه نقشه حوزه آبخیز جاجرود (لوارک) با استفاده از تکنیک‌های سنجش از دور و GIS، مجموعه مقالات کنفرانس منطقه‌ای مدیریت منابع آب، دانشگاه صنعتی اصفهان، ص ۱۶۱ تا ۱۷۳.
- ۸- قمشی، م. ۱۳۶۷. بررسی رسوبگذاری در مخزن سد دز، پایان‌نامه کارشناسی ارشد، دانشکده کشاورزی، دانشگاه شهید چمران اهواز.
- ۹- کیا، ع. و ن. بزازیه. ۱۳۶۹. طراحی سازه‌های آبی، انتشارات نویسندگان، تبریز، ۵۳۲ صفحه.
- ۱۰- محمدزاده، ا. ۱۳۷۴. ارزیابی بازده تله‌اندازی رسوب در سدهای کوچک، پایان‌نامه کارشناسی ارشد، دانشکده کشاورزی، دانشگاه صنعتی اصفهان، ۱۱۳ صفحه.
- ۱۱- موسوی، س.ف. و ح. صمدی بروجنی. ۱۳۷۵. ارزیابی توزیع رسوب در مخازن سدهای کوچک منطقه چهارمحال و بختیاری. مجله آب و فاضلاب، شماره ۱۸، ص ۳ تا ۱۳.
- 12- Arnold, J.G., M.D. Bircket, J.R. Williams, W.F. Smith, and H.N. McGill. 1987. Modelling the effects of urbanization on basin water yield and reservoir sedimentation. Water Resour. Bull. 23(6) : 1101-1107.

13. Borland, W.L. 1951. Unpublished data in files of Bureau of Reclamation, Denver, Co., U.S.A.
- 14- Brown, C.B. 1943. Discussion of "Sedimentation in Reservoirs", by B.J. Witzig, Proc. ASCE, 69(6): 793-815, 1493-1499.
- 15- Brune, G.M. and R.E. Allen. 1941. A consideration of factors influencing reservoir sedimentation in the Ohio Valley region. Trans. Am. Geophys. Union, 22: 649-655.
- 16- Brune, G.M. 1953. Trap efficiency of reservoirs. Trans. Am. Geophys. Union, 34(3): 407-418.
- 17- Butler, D.L., R.O. Hawkinson and R.W. Boulger. 1990. Sediment Discharge in Fortification Creek and the Effect of Sedimentation Rate on the Proposed Rampart Reservoir, Northwestern Colorado. USGS, 22 p.
- 18- Churchill, M.A. 1948. Discussion of "Analysis and use of reservoir sedimentation data", by L.C. Gottschak, pp. 139-140, Proc. Fed. Inter-Agency Sedim. Conf., Washington, D.C.
- 19- Dendy, F.E. and C.M. Cooper. 1984. Sediment trap efficiency of a small reservoir. J. Soil and Water Conservation, 39(4) : 278-280.
- 20- FAO. 1983. Guidelines for Watershed Management. FAO, Rome, pp. 62-63, 90-92.
- 21- Heinemann, H.G. 1984. Reservoir Trap Efficiency. In : Hadley, R.F. and D.E. Walling (eds.), Erosion and Sediment Yield : Some methods of measurement and modelling. Norwich, England, pp. 201-218.
- 22- Holy, M. 1984. Erosion and Environment. Pergamon Press, 226 p.
- 23- Lal, V.B., S. Banerji, and J. Narayanan. 1977. Sediment yield in relation to drainage basin characteristics in some Indian river valley projects. Proc. Paris Symposium, IAHS, AISH, Pub. No. 122, pp. 93-97.
- 24- McIntyre, S.C. 1993. Reservoir sedimentation rates linked to long-term changes in agricultural land use. Water Resour. Bull., 29(3) : 487 - 495.
- 25- Moore, C.M., W.J. Wood and G.W. Renfro. 1960. Trap efficiency of reservoir and debris dams ASCE, J. Hyd. Div. 86(2): 69-87.
- 26- Morgan, R.P.C. 1988. Soil Erosion and Conservation. Longman Scientific & Technical, UK, pp. 111 - 139.
- 27- Mutreja, K.N. 1986. Applied Hydrology. Tata McGraw-Hill Co., New Delhi, pp. 831-876.
- 28- Pacific Southwest Inter-Agency Committee. 1968. Factors Affecting Sediment Yield in the Pacific Southwest Area, and Selection and Evaluation of Measures for Reduction of Erosion and Sediment Yield. 13 p.
- 29- Renard, K.G. 1980. Estimating erosion and sediment yield from rangeland. Symposium on Watershed Management, Vol.1, pp. 164-175.
- 30- Roehl, J.W. 1962. Sediment source areas, delivery ratios and influencing morphological factors. IAHS,

Pub. No. 59, pp. 202 - 213.

31- Stall, J.B. and M.T. Lee. 1980. Reservoir sedimentation and its causes in Illinois. Water Resour. Bull. 16(5) : 874 - 880.

32- Simons, D.B. and F. Senturk. 1992. Sediment Transport Technology. Water Resources Publication, pp. 465-533.